

## ОЦЕНКА ТОЧНОСТИ МЕТОДА ОПРЕДЕЛЕНИЯ РАЗДЕЛЬНОЙ КОНЦЕНТРАЦИИ ПРИМЕСЕЙ ИЗ ИЗМЕРЕНИЙ ПОСТОЯННОЙ ХОЛЛА

Банная В. Ф., Веселова Л. И., Гершензон Е. М.,  
Гусинский Э. Н., Литвак-Горская Л. Б.

На примере  $p\text{-Si}\langle\text{B}, \text{Ga}\rangle$  с различной степенью компенсации проведена сравнительная оценка точности определения раздельной концентрации примесей по температурной зависимости концентрации дырок  $p(T)$  в случае одной и двух легирующих примесей с энергиями ионизации, различающимися менее чем в 2 раза. Исследована функция среднеквадратичного отклонения в пространстве параметров  $D(N_k, N_2)(N_k, N_1)$  и  $N_2$  — концентрации компенсирующих примесей бора и галлия соответственно,  $N_2 \gg N_1$ ) в предположении, что  $N_2$ , энергии B и Ga известны. Показано, что в случае двух легирующих примесей  $D(N_k, N_1)$  в окрестностях минимума имеет «овражный» рельеф и при некоторых соотношениях между  $N_k$  и  $N_1$  разброс искомых величин превышает порядок, причем увеличение точности измерений  $p(T)$  существенного улучшения в вычислении параметров не дает. При одной легирующей примеси точность вычисления параметров высокая.

*Введение.* Метод определения концентрации примесей в полупроводниковых материалах по температурной зависимости постоянной Холла является одним из наиболее распространенных. Он дает надежные результаты в случае, когда материал содержит одну основную примесь или несколько примесей, резко различающихся энергиями. Однако при определении раздельной концентрации примесей в полупроводниках, содержащих, например, даже два вида основных примесей с энергиями ионизации, различающимися незначительно, возникают трудности. Ошибка в определении параметров может получиться неприемлемо большой, хотя, как и в предыдущем случае, из решения уравнения нейтральности получается строгое аналитическое выражение для температурной зависимости концентрации свободных носителей (см., например, [1]).

Рассмотрим для определенности два конкретных случая, часто реализующихся на практике: кремний, легированный бором (энергия ионизации  $E_1 = 4.5 \cdot 10^{-2}$  эВ), и кремний, легированный галлием ( $E_2 = 7.6 \cdot 10^{-2}$  эВ) и содержащий остаточный бор (в обоих случаях существуют и компенсирующие примеси). В первом случае уравнение нейтральности записывается как

$$p + N_k = \frac{N_1}{1 + \frac{p\beta}{N_v} \exp \varepsilon_1}, \quad (1)$$

где  $p$  — концентрация свободных дырок,  $N_1$  и  $N_k$  — концентрации основной и компенсирующей примесей соответственно,  $\beta$  — фактор вырождения примесного уровня,  $N_v$  — плотность состояний в валентной зоне,  $\varepsilon_1 = E_1/kT$ . Во втором случае уравнение нейтральности имеет вид

$$p + N_k = \frac{N_1}{1 + \frac{p\beta}{N_v} \exp \varepsilon_1} + \frac{N_2}{1 + \frac{p\beta}{N_v} \exp \varepsilon_2}, \quad (2)$$

где  $N_2$  — концентрация галлия,  $\varepsilon_2 = E_2/kT$ . Будем считать, что выполняется наиболее часто встречающееся на практике соотношение  $N_2 \gg N_1$ . Это, в частности, позволяет легко определить  $N_2$  по области истощения примеси.

Настоящая работа посвящена анализу предельных возможностей и сравнительной оценке точности определения раздельной концентрации примесей из измерений постоянной Холла  $R_H(T)$  в двух упомянутых случаях.

## М а т е м а т и ч е с к о е м о д е л и р о в а н и е

С точки зрения математической обработки результатов эксперимента определение параметров полупроводниковых материалов есть задача определения параметров функции, описывающей получаемую в эксперименте зависимость, — аналитической модели. Зависимость  $p(T, N_1, N_k)$ , полученную из (1), будем называть «модель 1», а полученную из (2) — «модель 2». Из (1) для  $p(T)$  получается квадратное уравнение, а из (2) — кубическое. Заранее не ясно, почему повышение степени уравнения должно приводить к понижению точности. Нужно сказать, что вопрос о точности определения параметров в случае нелинейных моделей теоретически еще очень мало разработан. Однако оценку точности можно произвести, исследуя вид функции среднеквадратичного отклонения в пространстве параметров. В нашем случае область определения этой функции может быть ограничена двумя переменными  $N_1$  и  $N_k$ , так как  $N_2, E_1$  и  $E_2$  считаются неизвестными. Тогда функция среднеквадратичного отклоне-

ния  $D = \sqrt{\frac{1}{Q} \sum [p(T_i) - p_i]^2}$  ( $Q$  — число точек суммирования) описывает некоторую поверхность. Здесь  $\{p_i, T_i\}$  — данные эксперимента,  $p(T)$  — совокупность значений, определяемых моделью. Координаты минимума этой поверхности дают набор параметров, оптимальным образом описывающий результаты эксперимента, а поведение  $D$  в окрестностях минимума оказывает решающее влияние на точность определения параметров. Если  $D$  в окрестностях минимума меняется быстро, причем приблизительно одинаково быстро по всем направлениям («котловинный» рельеф), точность определения параметров будет высокой. Возможны, однако, случаи, когда поверхность  $D$  в окрестности минимума вытянута вдоль какого-то одного направления («овражный» тип рельефа). В предельном случае истинного оврага минимум достигается не в единственной точке, а на множестве точек. Решением задачи в этом случае пришлось бы признать множество значений параметров, описывающее линию дна оврага.

Таким образом, точность определения параметров зависит от вида поверхности  $D$ , а вид поверхности связан с особенностями аналитической модели. Исследуем поведение  $D$  в окрестностях минимума для моделей 1 и 2 и сравним результаты. Будем получать совокупность значений  $\{p_i, T_i\}$  из аналитической модели при заданных значениях  $N_1$ ,  $N_k$ . Перебирая значения  $N_1$  и  $N_k$ , построим поверхность  $D$ .

Представление о рельефе поверхности в окрестностях минимума можно получить, рассекая ее плоскостями, перпендикулярными координатной плоскости  $N_1 \hat{O} N_k$  и проходящими через точку минимума. След пересечения данной плоскости к поверхности  $D$  показывает, насколько быстро меняется  $D$  в данном направлении. В результате такого исследования было установлено, что для модели 1 рельеф близок к котловинному, причем практически не меняется при изменении самих координат минимума. На рис. 1, а для этой модели представлены характерные следы сечения поверхности  $D$  плоскостями: в направлении  $N_k/N_1 = \text{const}$  (штриховая кривая) и перпендикулярном ему (сплошная). Отметим, что для совмещения минимумов, имеющих разные координаты (соответствующие разным параметрам  $N_1$  и  $N_k$ ), на всех рисунках масштабы по оси абсцисс выбраны в относительных единицах (т. е. в единицах  $N_k/N_{k,\min}$ ). Для модели 2 имеются направления, вдоль которых поверхность сильно вытянута. Как показывают расчеты, при  $N_1 > N_k$  такое направление определяется условием  $N_k/N_1 = \text{const}$ . При  $N_1 < N_k$  направление наиболее медленного изменения  $D$  определяется условием  $N_k - N_1 = \text{const}$  (рис. 1, б, в). В направлениях, перпендикулярных указанным,  $D$  меняется очень быстро, так что в целом для поверхности  $D$  обнаруживается овражный тип рельефа. На рисунке видно, что овраг не является истинным, так как минимум достигается в единственной точке: его координаты соответствуют тем значениям  $N_1$  и  $N_k$ , при которых про-

изводилась имитация эксперимента, а само минимальное значение  $D$  равно нулю.

На рисунке видно, что скорость изменения  $D$  в окрестностях минимума сильно меняется в зависимости от величины  $N_k/N_1$  при фиксированном направлении  $N_k/N_1 = \text{const}$  (при  $N_1 > N_k$ , рис. 1, б) и от  $N_k - N_1$  (при  $N_1 < N_k$ , рис. 1, а). При  $N_1 > N_k$  минимум выражен достаточно хорошо при малых ( $0.1$ , кривая 2) и больших ( $0.8$ , кривая 5) значениях  $N_k/N_1$ . При промежуточных значениях (например,  $0.2$ , кривая 3) вытянутость весьма значительная. При  $N_1 < N_k$  приемлемый рельеф получается только при близких друг к другу

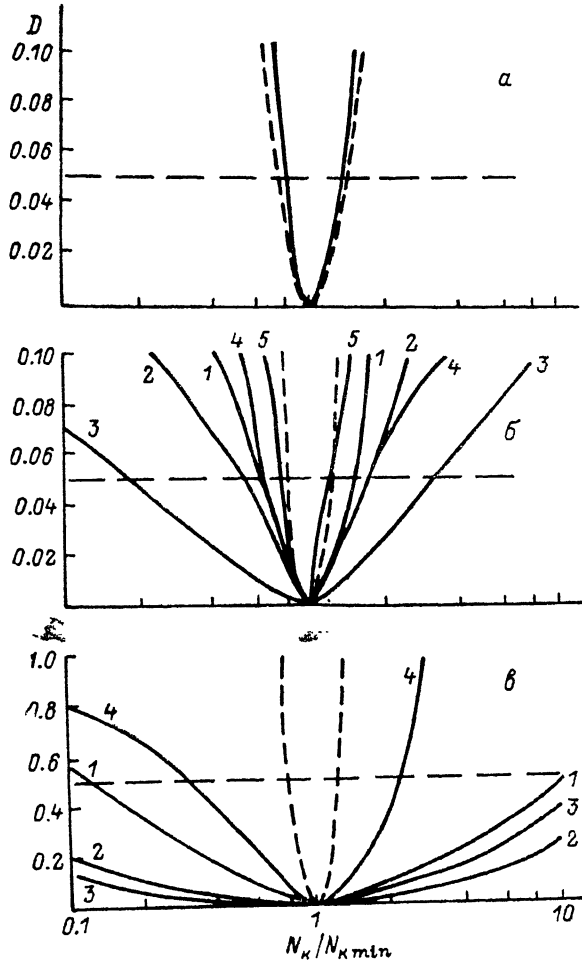


Рис. 1. Следы сечений поверхности  $D(N_1, N_k)$  плоскостями в направлениях наибольшего (штриховые кривые) и медленного (сплошные) изменений.

а) Si(B), модель 1 б) Si(B, Ga), модель 2,  $N_1 > N_k$ . Номера кривых соответствуют разным значениям  $K = N_k/N_1$ : 1 — 0.05, 2 — 0.1, 3 — 0.2, 4 — 0.3, 5 — 0.8. б) Si(B, Ga), модель 2,  $N_1 < N_k$ . Номера кривых соответствуют разным значениям  $1/K$ : 1 — 0.1, 2 — 0.2, 3 — 0.5, 4 — 1.0.

значениях  $N_1$  и  $N_k$ . Таким образом, скорость изменения  $D$  в окрестности минимума для модели 2 зависит о соотношении  $N_1$ ,  $N_2$  и  $N_k$ .

Для сравнения оценки точности определения параметров по моделям 1,2 предположим, что условием окончания поиска координат минимума является  $D \leq 0.05$ . Тогда разброс искомых значений можно охарактеризовать величиной области пересечений плоскости  $D = 0.05$  (она параллельна координатной плоскости) с поверхностью  $D(N_1, N_k)$ , след ее — прямые линии на рис. 1, а, б. Как видно из рисунка, для модели 1 это дает весьма незначительный разброс. При относительных значенияй ( $\sim 0.9$ — $1.05$ ). Для модели 2 ситуация сложнее. При  $N_1 > N_k$  точность определения параметров сильно зависит от степени компенсации  $K = N_k/N_1$ . В случае слабой ( $K \leq 0.1$ ) и сильной ( $K \geq 0.5$ ) компенсаций

разброс значений  $N_r/N_{k\min}$  составляет  $\leq 3$ . Наиболее «неблагоприятным» является случай средних компенсаций. Так, при  $K=0.2$   $0.15 \leq N_r/N_{k\min} \leq 3$ , т. е. разброс составляет более 1 порядка величины. Уменьшение дисперсии приводит к сокращению интервала значений  $N_r/N_{k\min}$  для всех компенсаций. Однако для  $K=0.2$  и  $D=0.01$  разброс  $N_r/N_{k\min} \approx 2$  (рис. 1, б).

При  $N_1 < N_k$  и  $D=0.05$  практически для всех значений  $K$  (кроме  $K=1$ ) разброс параметров составляет несколько порядков, при  $K=0.2$  вообще можно указать только верхний предел значений  $N_1$  и  $N_k$ , причем уменьшение  $D$  улучшает точность определения параметров только при  $K \approx 1$  (рис. 1, б).

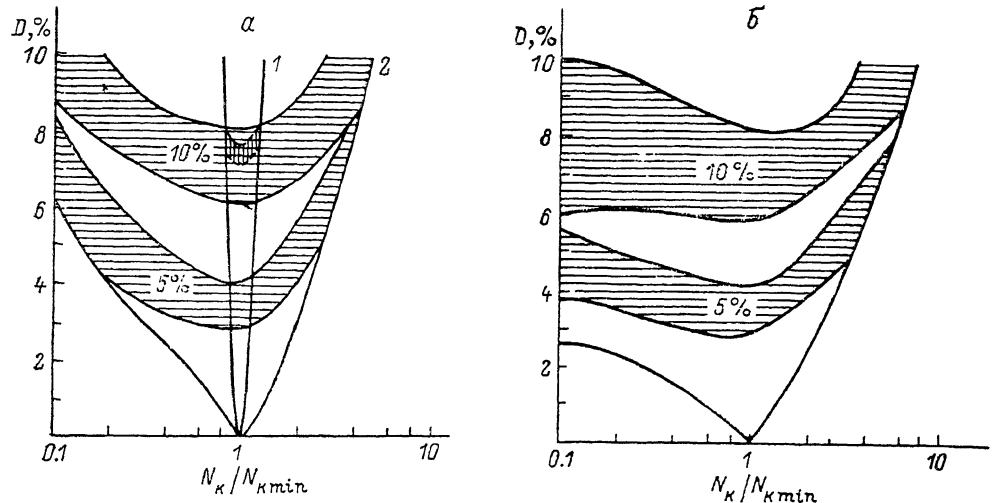


Рис. 2. Следы сечений поверхности  $D(N_1, N_k)$  плоскостями в направлениях наиболее медленного (сплошные кривые) изменения.

Заштрихованные области — совокупность следов аналогичных сечений для разных случайных разбросов  $\{p_i, T_i\}$ . а) 1 —  $Si(B)$ ,  $N_k = 5 \cdot 10^{12}$ ,  $N_r = 10^{16} \text{ см}^{-3}$ ; 2 —  $Si(B, Ga)$ ,  $N_1 > N_k$ ,  $N_2 = 10^{16} \text{ см}^{-3}$  ( $N_k = 10^{13}$ ,  $N_r = 4 \cdot 10^{13} \text{ см}^{-3}$ ); б)  $Si(Ga, B)$ ,  $N_k > N_1$ ,  $N_2 = 10^{16} \text{ см}^{-3}$  ( $N_k = 10^{13}$ ,  $N_r = 2 \cdot 10^{12} \text{ см}^{-3}$ ).

Оценим теперь влияние точности проведения эксперимента на точность определения параметров. Повторим описанную выше процедуру расчета, предварительно многократно подвергнув значения  $p_i$ , получаемые по модели 1, случайному разбросу. Таким образом, имитируются многократные измерения с той или иной степенью точности одного и того же полупроводникового образца. Заштрихованные области на рис. 2 включают в себя совокупность следов, полученных для разных случайных наборов  $\{p_i, T_i\}$ . Как видно, координаты минимума для разных наборов при 5%-м разбросе значений  $p_i$ , соответствующих модели 1, меняются очень незначительно (рис. 2, а). Для модели 2 при  $N_1 > N_k$  и таком же разбросе значений  $p_i$  координаты минимума различаются сильнее (рис. 2, б), а при 10%-м разбросе могут различаться более чем на порядок. При  $N_1 > N_k$  уже при 5%-м разбросе определить параметры практически невозможно (рис. 2, б).

### Обсуждение результатов. Сопоставление с экспериментом

Таким образом, точность определения параметров для модели 1 существенно выше, чем для модели 2. Рассмотрим, какими особенностями моделей объясняется это различие.

Для модели 1 при низких температурах  $p \ll N_k$  квадратное уравнение относительно  $p(T)$  переходит в линейное с единственным параметром  $N_1/N_k$ . Дополнительную информацию для определения раздельной концентрации при месей дают измерения при высоких температурах.

Для модели 2 при низких температурах и  $N_1 > N_k$  можно считать, что глубокий уровень полностью нейтрализован. В этих условиях, как и для модели 1, из измерений  $p(T)$  определяется отношение  $N_1/N_k$ . При  $N_1 < N_k$  основной ме-

кий уровень полностью оголен, и приближенное решение содержит параметр  $(N_k - N_1)/2$ . В области высоких температур, учитывая сделанные предположения, можно определить  $N_2$ . Если проводить измерения только в области низких и высоких температур, легко видеть, что разделенная концентрация примесей определена быть не может: при  $N_1 > N_k$  будут определены  $N_2$  и  $N_1/N_k$ , а при  $N_1 < N_k - N_2$  и  $N_k - N_1$ . Это означает, что вдоль соответствующих направлений существуют истинные овраги. Отсюда следует, что план проведения эксперимента должен предусматривать необходимость иметь большое число экспериментальных точек в промежуточной области температур, где сравнимы вклады всех членов в уравнение нейтральности. Отметим, что ширина и положение этой области существенно зависят от параметров материала.

Измерения  $R_H(T)$  проводились на большом числе образцов Si(B) с  $N_1 \approx 10^{14} \div 10^{17} \text{ см}^{-3}$  и Si(Ga), содержащего остаточный бор, с  $N_2 \approx 5 \cdot 10^{15} \div 10^{17} \text{ см}^{-3}$  по стандартной холловской методике в широком диапазоне темпера-

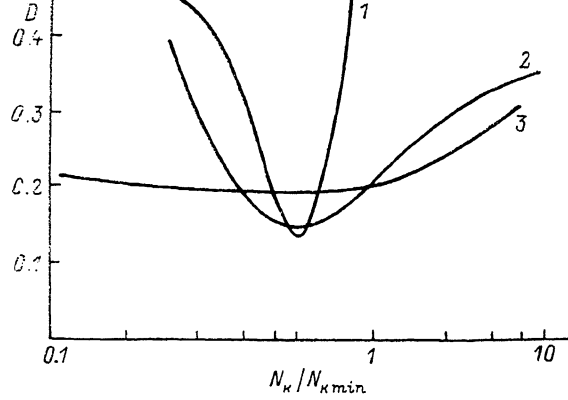


Рис. 3. Следы сечений поверхности  $D(N_1, N_k)$  плоскостями в направлениях наиболее медленного ее изменения для трех измеренных образцов.

1 — Si(B),  $N_1 = 10^{16}$ ,  $N_k = 5 \cdot 10^{12} \text{ см}^{-3}$ ; 2 — Si(Ga, B),  $N_1 = 4 \cdot 10^{12}$ ,  $N_k = 2.4 \cdot 10^{12}$ ,  $N_2 = 8 \cdot 10^{16} \text{ см}^{-3}$ ; 3 — Si(Ga, B),  $N_1 = 10^{14}$ ,  $N_k = 1.2 \cdot 10^{14}$ ,  $N_2 = 7.8 \cdot 10^{16} \text{ см}^{-3}$ . Значения разделенной концентрации примесей в приведенных образцах получены из результатов холловских измерений.

тур ( $T = 20 \div 300 \text{ K}$ ). Обработка результатов выполнялась на ЭВМ по формулам (1), (2), при этом  $E_1$ ,  $E_2$ ,  $N_2$  и  $N_k/3$  считались известными.

При обработке результатов измерения реальных образцов получены данные, хорошо согласующиеся со сказанным выше. На рис. 3 представлены следы сечений поверхности  $D(N_1, N_k)$  плоскостями в направлениях наиболее медленного ее изменения для трех образцов. В случае Si(B) (кривая 1) параметры определяются уверенно, зависимость  $D(N_1, N_k)$  имеет выраженный котловинный рельеф. Для Si(Ga), содержащего бор, в случае  $N_1 > N_k$  удается получить приемлемые результаты (кривая 2); в случае  $N_1 < N_k$  (кривая 3) получаются значения  $D(N_1, N_k)$ , не содержащие выраженного минимума. Любые параметры, полученные для подобных образцов, будут случайными.

Таким образом, проведенное рассмотрение показывает, что определение разделенной концентрации примесей в полупроводниковых материалах, для которых справедлива модель 2, только по результатам измерения температурной зависимости постоянной Холла может наталкиваться на неустранимые трудности.

О степени надежности получаемых при обработке результатов можно судить, исследуя форму поверхности среднеквадратичного отклонения в окрестностях минимума. При получении выраженного овражного рельефа следует, вероятно, использовать независимые методы для оценки одного из параметров  $N_1$  или  $N_k$ . Один из таких методов предложен, например, в [2], другим можно считать способ оценки концентрации ионизированных центров в легированных и слабо компенсированных материалах по величине подвижности [3]. Так, для образца 2 этот способ дает  $N_k = 5 \cdot 10^{12}$ , а для образца 3  $N_k = 4 \cdot 10^{14} \text{ см}^{-3}$ . Исполь-

зя эти данные в совокупности с результатами холловских измерений, можно рассчитать раздельную концентрацию примесей в таких материалах.

Заметим, что для случая сложного легирования нами рассмотрена наиболее простая из возможных задач, когда число легирующих примесей ограничено двумя и энергии ионизации их известны. В противном случае задача усложняется.

Представляется, что проведенная оценка ограниченности стандартных холловских измерений для определения параметров полупроводникового материала даже в очень простой ситуации должна привлечь внимание: учет полученных результатов особенно важен при создании автоматизированных методов измерений, в программу которых обязательно должны быть заложены измерения зависимостей, дополняющих  $R_H(T)$ .

#### Список литературы

- [1] Блекмор Дж. Статистика электронов в полупроводниках. М., 1964. 392 с.
- [2] Веденеев А. С., Воронкова Г. И., Ждан А. Г., Коган Ш. М., Лифшиц Т. М., Рыльков В. В. // ФТП. 1988. Т. 22. В. 4. С. 586—592.
- [3] Банная В. Ф., Веселова Л. И., Гершензон Е. М. // ФТП. 1989. Т. 23. В. 2. С. 338—345.

Московский государственный  
педагогический институт им. В. И. Ленина

Получена 4.05.1990  
Принята к печати 17.08.1990